

## КРАТКИЕ НАУЧНЫЕ СООБЩЕНИЯ

УДК 551.24 + 551.73 (235.216)

*A. V. Неевин, Ю. С. Бискэ*

### НЕКОМПЕНСИРОВАННОЕ ПОГРУЖЕНИЕ ЧИРМАШСКОЙ КАРБОНАТНОЙ ПЛАТФОРМЫ (СРЕДНИЙ ПАЛЕОЗОЙ АТБАШИНСКОГО ХРЕБТА, ЮЖНЫЙ ТЯНЬ-ШАНЬ)

Район Атбашинского хребта относится к центральной (Атбashi-Кокшаальской) части Южного Тянь-Шаня. В палеотектонических реконструкциях для среднего палеозоя он рассматривается в составе обширной области перехода от шельфа древнего Таримского континента на юге к Туркестанскому палеоокеану на севере. Стратиграфия и вещественный состав средне- и верхнепалеозойских образований Атбashi-Кокшаальского региона в целом позволяют достаточно подробно восстановить историю развития пассивной окраины Таримского палеоконтинента и сложную палеогеографию примыкающей к ней части Туркестанского палеоокеана, отделявшего этот континент от Палеоказахстана [1, 2]. Однако чешуйчатое строение области, недостаток фаунистических датировок для метаморфизованных, вулканических, а также кремнистых толщ вызывают неопределенность в решении стратиграфических задач и, как следствие, пространственных реконструкций.

Палеозойская структура Атбашинского хребта первоначально была сформирована серией тектонических покровов, выраженных резко различными фациальными типами разрезов. В результате пересмотра ранних результатов [3, 4] была выработана, в частности, стратиграфическая схема для нижнего покрова, названного Чирмашским [5, 6]. Наиболее узнаваемая часть его разреза – известняки верхнего силура и лохкова. Нижняя их часть (карганташская толща), мощностью от одной до нескольких сотен метров, представлена чаще всего коралловыми фациями и знаменует собой стабилизацию карбонатной платформы вблизи границы лудлова – приходила после периода накопления более разнородных терригенно-карбонатных осадков. В изученных разрезах мелководные известняки с табуляциями из группы *Pachyfavosites kozlovskii* (Sok.) и конодонтами зоны *remscheidensis* основания лохковского яруса составляют кровлю толщи. Верхняя часть известняковой последовательности (чирмашская толща), как правило, менее мощная, сложена более глубоководными биокластическими криноидными разностями и тентакулитовыми известняково-мергельными плитняками нижнего девона. Перекрывают их глинистые сланцы, алевролиты, яшмоидные силициты, выделенные в Карагирскую свиту. Возраст ее определялся [5] как эмс-живетский, благодаря находкам кораллов, переотложенных в брекчиях из мелководной зоны, и фораминифер в прослоях обломочных известняках. Достоверных данных о вышележащих отложениях (вплоть до среднего карбона) до сих пор не было.

Представляемый материал получен авторами в результате исследований палеонтолого-стратиграфической партии Госагентства по геологии и минеральным ресурсам Кыргызстана в 2001 г. Он относится к более глубоководным отложениям чирмашской, Карагирской свит, возрастной объем которых здесь уточняется, и содержит обоснование турнейского возраста вышележащих образований, которые предлагается назвать Бозджарской свитой. Были изучены несколько неполных разрезов Чирмашского покрова в верховых рек Бозджар (иначе – р. Карагир-Муставас) и Суртеке, левых составляющих р. Западный Аксай, на южном склоне центральной части Атбашинского хребта (рис. 1). Чирмашский тектонический покров собран здесь в чешуйчатую структуру с преобладающими северными падениями пластов и нарушен более поздними сдвигами. Составление сводной колонки (рис. 2) при всех понятных затруднениях все же возможно благодаря наличию стратиграфических контактов между свитами.

**Чирмашская свита.** Возраст ее в объеме лохкова–прагиена был обоснован редкими находками тентакулитов [5]. Определения конодонтов, полученные из нескольких разрезов и на разных уровнях свиты, теперь позволяют различать следующие стратиграфические интервалы.

1. Нижняя часть свиты (170–175 м мощности) отвечает верхнему лохкову в объеме приблизительно зон *heretitor* – *optima* и представлена черными известняковыми плитняками с переотложенным криноидным детритом. Пачки черных известково-глинистых сланцев с редкой плоской карбонатной галькой появляются выше по разрезу. Верхние слои представлены тентакулитовыми плитчатыми известняками и относятся к пражскому (зона *miae*) и, возможно, эмсскому ярусам.

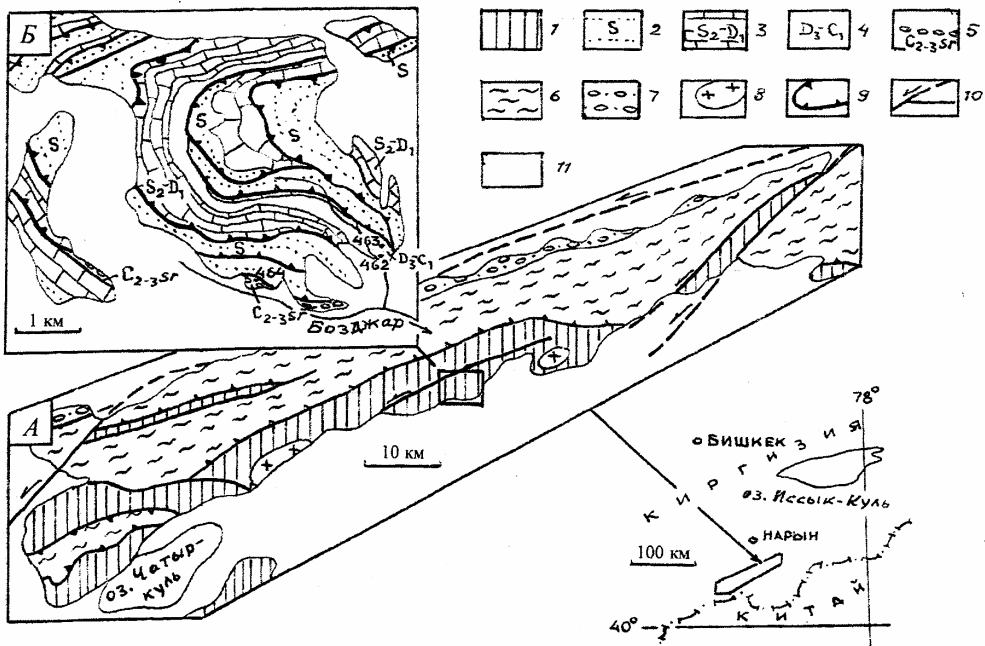


Рис. 1. Схема палеозойской тектоники Атбашинского хребта (А) и ее детализация для верховьев р. Бузджа́р (Б).

1 – Чирмашский покров; 2–5 – то же, включая: 2 – сланцы, песчаники, известняки силура, 3 – известняки, в верхней части также сланцы каранташской и чирмашской свит, 4 – сланцы, силициты карагирской и бузджа́рской свит, 5 – конгломераты, песчаники суртекинской свиты; 6 – верхние тектонические покровы (средний палеозой в базальтовых и граувакко-сланцевых фациях, а также атбашинский метаморфический комплекс); 7 – верхний палеозой тылового прогиба; 8 – пермские интрузии; 9 – надвиговые ограничения покровов; 10 – прочие разрывы (штриховые линии – разрывы на закрытых территориях, стрелками показаны направления сдвигов); 11 – кайнозойские отложения. Указаны номера упомянутых в тексте разрезов. Географическое положение района – на схеме внизу справа.

2. К среднему девону относятся, вероятно, слабо пиритизированные сланцы и алевролиты с маломощными пачками глинистых, иногда песчанистых, слабо битуминозных известняков. Мощность их 60–65 м. Достоверно франскими, по присутствию конодонтов *Palmatolepis gigas gigas* Mill. et Young., *Palm. subrecta* Mill. et Young., являются вышележащие глинистые известняки (15 м).

Последнее обстоятельство с учетом карбонатного состава отложений заставляет нас поднять верхнюю границу свиты до франского яруса и уменьшить таким образом объем вышележащей карагирской свиты, исключив из нее переотложенные карбонаты среднего девона (см. выше). Полная мощность чирмашской свиты в изученном районе – около 270 м.

**Карагирская свита.** Характерной особенностью внешнего облика свиты является пестрая окраска пород. Они представлены сургучно-красными, зелеными, зеленовато-серыми и серыми кремнисто-глинистыми, глинистыми сланцами и алевролитами с прослойями содержащими конодонты серых или зеленовато-серых кремней. Конодонты<sup>1</sup> собраны преимущественно из средней части свиты: это комплекс середины фаменского яруса, отвечающий зонам *rhomboidea* – *marginifera*. Учитывая местоположение сборов в колонке свиты и согласные ее границы с нижне- и вышележащими образованиями, можно допускать приблизительное соответствие объема карагирской свиты фаменскому ярусу. Мощность достигает 61 м. Стратотипом свиты мы будем считать разрез по левому истоку р. Бузджа́р в 2 км выше устья (см. рис. 1, разрезы в точках 462, 463).

**Бузджа́рская свита.** Темные кремни и калькаринты, согласно перекрывающие пестрые девонские кремни, выделяются А. В. Невинным под этим наименованием. Стратотипический разрез изучен там же, где и стратотип карагирской свиты. Нижняя его часть представлена черными плитчатыми кремнями, темно-серыми кремнисто-

<sup>1</sup> Изображения конодонтов из чирмашского среднего палеозоя частично приведены в таблице (рис. 3).

глинистыми сланцами, алевролитами с редкими тонкими прослойками калькаренитов. По присутствию различных представителей рода *Siphonodella* эти слои соответствуют нижнему турне. Выше находятся те же черные кремнистые и глинистые сланцы без карбонатного материала с конодонтами зоны *typicus* и радиоляриями. Общая измеренная мощность свиты – не более 35 м.

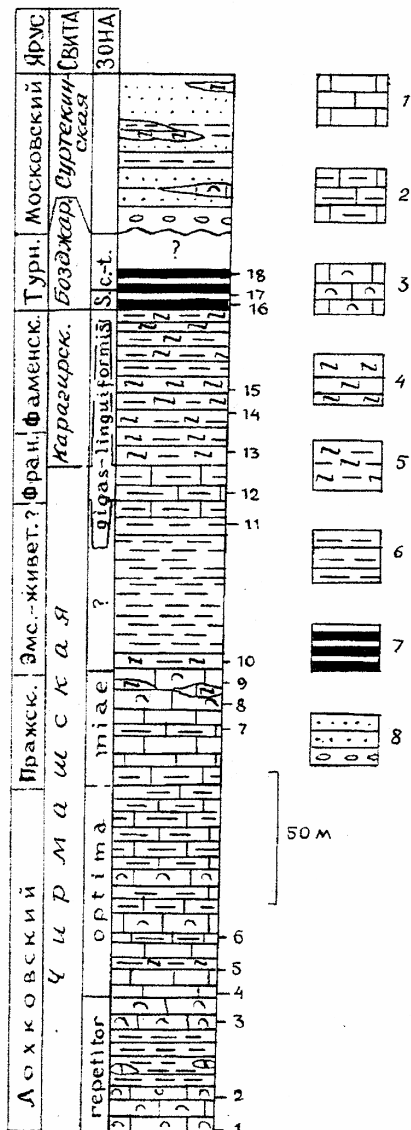


Рис. 2. Стратиграфическая колонка верхней части разреза Чирмашской карбонатной платформы и перекрывающих отложений.

1–3 – известняки: 1 – пелитоморфные, 2 – глинистые, 3 – органогенно-дetrитовые; 4 – силициты; 5–7 – сланцы; 5 – кремнисто-глинистые, 6 – алеврит-глинистые, 7 – битуминозные кремнистые и глинистые; 8 – песчаники, конгломераты. Зоны или слои с фауной: S – *Siphonodella*, c.-t. – *strenulata*?-*typicus*.

Цифры справа от колонки обозначают уровни, из которых получены определения конодонтов и частично других ископаемых: 1 – *Ozarkodina* sp., *Turkestanella* cf. *acuaria* (Richt.); 2 – *Paranowakia* cf. *obutii* Bouč.; 3 – *Panderodus* sp., *Ozarkodina remsccheidensis* remsccheidensis (Zieg.), Oz. r. repetitor (Carls et Gandl); 4 – *Pandorinellina optima* (Moskalenko); 5 – *Viriatellina* sp.; 6 – *Ozarkodina remsccheidensis* repetitor (Carls et Gandl), Oz. sp., *Panderodus* sp., *Turkestanella* cf. *acuaria* (Richt.); 7 – *Pandorinellina steinhornensis miaei* (Bult.), *Panderodus* sp.; 8 – *Pandorinellina* sp., *Panderodus* sp.; 9 – *Pandorinellina steinhornensis miaei* (Bult.); 10 – *Polygnathus* sp.; 11 – *Icriodus* sp.; 12 – *Icriodus* sp., *Palmatolepis* *subrecta* Mill. et Young., *Palm. gigas gigas* Mill. et Young., Pal. sp.; 13 – *Palmatolepis* sp.; 14 – *Polygnathus* sp., *Palm. gracilis gracilis* Br. et M., *Palm. sp.*; 15 – *Palmatolepis minuta* Br. et M., *Palm. glabra glabra* Ul. et Bass., *Palm. gracilis gracilis* Br. et M., *Palm. sp.*, *Polygnathus* sp.; 16 – *Siphonodella sulcata* (Hudd.), *S. duplicata* (Br. et M.); 17 – *Bispalodus stabilis* (Br. et M.), *Neopolygnathus* aff. *communis* (Br. et M.), *Polygnathus* cf. *formicatus* Li et Xiong, *Pseudopolygnathus pinnatus* Vog., *Ps. fusiformis* Br. et M.; 18 – *Scaliognathus* cf. *dockali* Chauff., *Pseudopolygnathus triangularis* Vog., *Entactinia* cf. *torispina* Ortm. et Lane.

Определения конодонтов сделаны А. В. Несвиным, тентакулитов и радиолярий – С. М. Лихоманом.

Согласная кровля турнейских отложений неизвестна. Можно полагать, что известняки верхней части нижнего карбона, повсеместно присутствующие в батиальных отложениях Южного Тянь-Шаня и входящие в состав ранних коллизионных поднятий-кордильер, на южном склоне Атбашинского хребта не представлены в обнажениях. Более молодые палеозойские образования составляет здесь лишь *суртекинская свита*, которая по своему составу (пудинговые песчаники с вулканомиктовой примесью, содержащие растительные фрагменты, алевролиты, конгломераты) ближе к морской молasse, чем к настоящему флишу. Эти отложения не древнее московского яруса, что подтверждено присутствием в песчаниках раковин фузулинид *Profusulinella ovata* (Raus.) и др., а обильный местами



Рис. 3. Конодонты из девонских – турнейских отложений южного склона Атбасинского хребта.

1 – *Pandorinellina steinhomensis miae* (Bult.), ×40, экз. 461/26, руч. Суртеке, чирмашская свита; 2 – *Pandorinellina* sp., ×35, экз. 461/33, там же; 3 – *Palmatolepis subrecta* Mill. et Young., ×100, экз. 463/15, руч. Бозджар, чирмашская свита; 4 – *Palmatolepis gigas gigas* Mill. et Young., ×50, экз. 463/15, там же; 5 – *Palmatolepis glabra glabra* Ul. et Bass., ×115, экз. 462/25, руч Бозджар, карагирская свита, 6 – *Palmatolepis glabra* Ul. et Bass., ×55, экз. 462/25, там же; 7 – *Palmatolepis minuta minuta* Br. et M., ×110, экз. 462/23, там же; 8 – *Palmatolepis gracilis gracilis* Br. et M., ×80, экз. 462/21, там же; 9 – *Bispathodus stabilis* (Br. et M.), ×100, экз. 462/13, руч. Бозджар, бозджарская свита; 10 – *Neopolygnathus aff. communis* (Br. et M.), ×100, экз. 462/6, там же; 11 – *Siphonodella sulcata* (Hudd.), ×80, экз. 462/7, там же; 12 – *Siphonodella duplicata* (Br. et M.), ×50, экз. 462/7, там же; 13 – *Scaliognathus cf. dockali* Chauff., ×80, экз. 462/1, там же; 14 – *Pseudopolygnathus pinnatus* Vog., ×40, экз. 462/6, там же; 15 – *Pseudopolygnathus triangulus* Vog., ×70, экз. 462/1, там же

вулканический материал, включающий обломки риолит-дацитового состава, подсказывает возможность корреляции и с более молодыми отложениями Кокшаала. Частично эти образования принимались за девонские [6]. Однако конодонты фамена и турне, полученные в разрезе свиты (точка 464, см. рис. 1), характеризуют скорее олистоплаки глинисто-кремнистого состава, а девонские фораминиферы – переотложенный карбонатный материал в калькаренитах внутри песчано-галечной толщи. В разных гальках известняков здесь же найдены как девонские криноиды, так и водоросли, фораминиферы визейского яруса.

Таким образом, конодонты, обнаруженные впервые в отложениях девона – турнейского яруса Атбашинского хребта, позволяют восстановить историю развития Чирмашской карбонатной платформы. Карбонатная серия, главным образом органогенные известняки и другие рифовые фашии верхнего силура – лохкова, очень характерна для обширных шельфов пассивных окраин Восточно-Европейского континента и его юго-восточных сателлитов – Каракумо-Таджикского, Кызылкумо-Алайского, а затем Таримского континентов. Повсеместно они обрамляют сушу, которая обозначена перерывами и красноцветными фашиями. Вследствие трансгрессий с конца раннего, а более отчетливо в среднем и позднем девоне эта суза была покрыта сугубо мелководными карбонатами. Одновременно внешние зоны пассивных окраин превратились за счет неполной компенсации погружения в расчлененные зоны рифовых гряд и относительно глубоких проливов: последним соответствуют конодонтовотентакуловые фашии. Реставрация палеогеографии девонских карбонатных платформ в условиях покровно-чешуйчатой структуры может быть лишь приблизительной, но в общей форме предложена для Кызылкумо-Алая, Атбаси-Кокшаала [1] и Центрального Таджикистана [7].

Чирмашская карбонатная платформа в девоне могла быть отдельной подводной грядой или же частью обширной Меришкор-Уланской отмели [1]. В любом случае ее наблюдаемая часть отличается нарастанием глубин с лохкова по турне. Начало этого погружения фиксируется в течение лохковского века в известняковых последовательностях (кунжакский – «манакский» горизонт) Южной, Восточной Ферганы и Атбаси-Кокшаальского региона. В пражском – эмском веках обособляются компенсированные участки рифовых выступов и, возможно, зарождаются батиалии и принимают лишь небольшой объем переотложенного карбонатного материала. Сходная ситуация сохранилась в среднем девоне и фране, судя по составу переотложенного бентоса и пелагическим остаткам из верхней части чирмашской свиты. В фаменском веке и турне кремнисто-сланцевые осадки легли здесь уже на глубоко погруженную поверхность бывшей карбонатной платформы.

Накопление турнейских черных слабобитуминозных силицидов и глин с прослойками калькаренитов происходило в условиях слабой циркуляции придонных вод. Черные сланцы и кремни типичны для турнейских батиальных отложений Южного Тянь-Шаня – в частности, они установлены южнее Атбашинского хребта в Кокшаале [8] – и составляют горизонт по крайней мере регионального стратиграфического значения. Можно полагать, что глобальное экологическое событие «Ловер Алум Шейл» на границе раннего и позднего турне (зона *Siphonodela crenulata*), проявленное в некоторых шельфовых фашиях прослоем черных кремнистых сланцев [9], означало лишь кратковременное поднятие уровня эвксинских вод с появлением их на шельвах, тогда как в батиали бескислородная среда оставалась более устойчивой. Интересна в этой связи дальнейшая, более детальная, корреляция изученных отложений с глубоководными фашиями западной Канады и США, юго-запада Польши, Южного Урала и других регионов, где известны девонские батиальные отложения.

## Summary

*Neyevin A. V., Biske U. S. Non-compensated submergence of Chirmash carbonate platform (Middle Paleozoic of At-Bashy ridge, Southern Tian-Shan).*

Chirmash carbonate platform formed in Silurian-Lower Devonian as an outer northern part of the passive marginal system of Tarim – Alai continental group. Tectonic fragments of carbonates laid here are located now in a thrust structure of the southern slope of At-Bashy range in central segment of Southern Tian-Shan collisional belt. New data discussed are concerned with conodont stratigraphy of upper part of carbonate platform series (Chirmash formation, Lochkovian to Frasnian), batal slates and silicilites formed later (Famennian Karagyr formation and Tournaisian Bozjar form.) as a result of non-compensated submergence. Black slates and silicilites of Tournaisian seems to be a regionally correlative horizon embracing Lower Alum Shale event. New data do not submit Devonian age of clastic sediments in At-Bashy range but demonstrate presence of Upper Devonian – Lower Carboniferous fossils in debris and olistolites in Upper Paleozoic mola-ssa (Surteke formation).

## Литература

1. Бискэ Ю. С. Палеозойская структура и история Южного Тянь-Шаня. СПб., 1996.
2. Бискэ Ю. С.. Дженчураев А. В., Неевин А. В. и др. Стратиграфия среднего – верхнего палеозоя и палеогеография области перехода Туркестанский океан – Таримский континент (Тянь-Шань)// Стратиграфия. Геологическая корреляция. 2003. Т. 11, № 6.
3. Брежнев В. Д., Довжиков А. Е., Аргутина Т. А. Палеозойские отложения системы хребтов Кок-Шаала // Вопросы геологии Средней Азии / Под ред. А. Т. Тарапенко. Л., 1970.
4. Стратиграфический словарь СССР. Л., 1975.
5. Бискэ Ю. С., Зубцов С. Е., Клишевич В. Л. и др. Типы разрезов палеозоя Атбаси-Кокшаальского района Южного

Тянь-Шаня // Вопросы стратиграфии. Вып. 2 / Под ред. Г. С. Поршнякова. Л., 1979. 6. Бискэ Ю. С., Поршняков Г. С., Зубцов С. Е. Герциниды Атбаси-Кокшаальского района Южного Тянь-Шаня. Л., 1985. 7. Бардашев И. А. Некоторые данные о возрасте акбасайской свиты (Южный Тянь-Шань) по конодонтам // Изв. АН ТаджССР. Отд. физ.-мат. и геол.-хим. наук. 1979. № 4 (74). 8. Невин А. В., Бискэ Ю. С. Находки конодонтов нижнего карбона в пелагических фациях окраины Тарима (хр. Кокшаалтау, Южный Тянь-Шань) // Вестн. С.-Петерб. ун-та. Сер. 7: Геология, география. 2000. Вып. 2 (№ 15). 9. Журавлев А. В. Среднетурнейское событие // Использование событийно-стратиграфических уровней для межрегиональной корреляции фанерозоя России / Под ред. Т. Н. Корень и др. СПб., 2000.

Статья поступила в редакцию 21 апреля 2004 г.